

Projet 3A  
Analyse d'imagerie polarimétrique

GUINAUDEAU Alexandre

HULOT Pierre

DEJOIE Etienne

18 février 2016

## Résumé

Le résumé (abstract en anglais) de mon article.

# Chapitre 1

## contexte

### 1.1 ADM Polar, contexte du projet

### 1.2 Présentation des données

Pour ce projet nous disposons d'un jeu de données de 163000 pixels répartis sur 17 images différentes. Pour chaque pixel nous avons les 16 éléments de la matrice de Müller, leur position, leur diagnostic, et l'image correspondante. Ces Pixels sont répartis en 4/5 de sains et 1/5 de malades. L'affichage des pixels nous montre que dans chaque image, les pixels sont répartis en zones au diagnostic identique. Sur les 17 images, 11 possèdent que des zones saines, une a une zone saine et une zone malade et les 5 dernières ont que des zones malades. Le nombre d'images étant assez limité il n'a été facile de trouver des points communs aux pixels sain et aux pixels malades. mettre les images ici. (toutes?)

#### 1.2.1 la Matrice de Müller

Les données sont obtenues par polarisation de la lumière. De la lumière polarisée est envoyée sur l'échantillon, réfléchi par celui ci est analysé ensuite. La matrice de Müller est obtenue à partir de l'analyse de la polarisation de la lumière réfléchie. Le postulat du laboratoire sur lequel repose tout le traitement des données est que les cellules saines et malades polarisent différemment la lumière. Cela implique qu'il est possible de reconnaître une cellule malade par la polarisation de la lumière réfléchie. Le PICM se bases pour cela d'observations de relation entre les images polarisées et le diagnostic. La polarisation génère 16 images par échantillon. On associe alors à chaque pixel une matrice  $4 \times 4$  appelée matrice de Müller. Dans cette matrice, la première ligne et la première colonne représentent l'intensité du signal, ces éléments influent peu sur le diagnostic mais ont des valeur élevés, ils introduisent beaucoup de biais et de sur-apprentissage. Nous avons donc décidé de ne pas les prendre en compte. Les éléments diagonaux sont normalement censé être les plus significatifs mais les reflets introduisent beaucoup de bruit rendant ces données difficilement utilisables. Il reste 6 éléments dans la matrices sur lesquels nous allons nous concentrer.

#### 1.2.2 Le Clustering

La disposition des données n'étant pas facilement exploitable directement il fallait réduire la complexité du problème, par exemple en limitant le nombre de données. Nous avons ainsi décidé de clustériser les données de chaque image afin d'en avoir beaucoup moins, mais plus significatives. La position du pixel dans l'image n'a pas été prise en compte, même si les zones résultantes sont proches. La clustérisation à été faite par un algorithme de type KNN (k plus proches voisins) sur les 6 éléments significatifs de la matrice de Müller. Les diagnostics étant propres à chaque image (une seule image avec un diagnostic non uniforme), chaque cluster est associé à un diagnostic.

La méthode de clustering utilisé consiste en :

- choisir k, le nombre de clusters
- regrouper les pixels de l'image selon ces k clusters (par *KNN*)

- calculer l'erreur totale commise (somme des distances au centre du cluster)
- recommencer avec un  $k$  plus grand si l'erreur est trop grande

Cette méthode nous a permis de passer de 163000 points à 52 plus significatifs. Elle nous a aussi permis de mieux comprendre la répartition des points. Le clustering a surtout un apport au niveau de la compréhension des données. Il pourrait avoir un impact (en tant que tel) sur les résultats, mais son but a été surtout de mieux comprendre la disposition des données pour pouvoir apprendre dessus.

## Chapitre 2

# Le traitement des données

### 2.1 Prétraitement des données

Le Prétraitement de données est l'étape essentielle qui précède l'apprentissage. Elle est la clé de celui ci, un bon prétraitement permet d'éliminer le bruit et présente les données sous un angle facilement exploitable. C'est là que se situe tout l'enjeu d'un classifieur Big Data ainsi que le travail d'un data analyst, les méthodes d'apprentissage étant préexistantes.

Les différents types de prétraitements que l'on peut faire avant de traiter les données

### 2.2 Les différentes approches de traitement des données

#### 2.2.1 Réduction de dimension

##### PCA

**rappel de la méthode** L'Analyse en Composantes Principales (ou PCA) consiste à essayer de représenter les données dans un espace de plus petites dimensions. Les vecteurs directeurs du nouvel espace maximise la variance entre les données. Nous présentons ici les résultats pour la dimension 2.

**prétraitement utilisé** Nous effectuons cette PCA sur les centres des clusters préalablement présentés (cf 1.1.1). Les centres des clusters représentent de manière fidèle l'ensemble des points qu'il rassemble. Chaque cluster est représenté par un vecteur d'éléments de la matrice de Müller. Tous les éléments de Müller sont gardés à l'exception de la première ligne et première colonne qui ne sont pas a priori pertinentes (d'après les informations des physiciens)

**résultats** La réduction de dimension par PCA semble efficace. La composante principale explique 90% de la variance (fig 2.3). De l'analyse de la première composante (fig 2.4) ressort deux effets principaux : - La petite contribution des éléments diagonaux de la matrice de Müller - Le rôle prépondérant de M34 et M43

On remarque une certaine anti-corrélation des éléments de la matrice de Müller. Le poids de M43 est proche de l'opposé de celui de M34. Le poids de M42 est également proche de l'opposé de celui de M24. Cette observation n'est par contre pas vérifiée pour M23 et M32 qui semblent corrélés.

**conclusion** La PCA effectuée sur les centres des clusters valident certaines supposition comme le rôle faible des éléments diagonaux ou le rôle important des éléments M34 et M43.

Par contre, la projection de la PCA en 2 dimensions ne nous permet pas de séparer les données de manière suffisantes pour être capable de distinguer des zones clairement différentes entre les clusters sains et les clusters malades. (fig 2.2)

FIGURE 2.1 – centre des clusters avant transformation

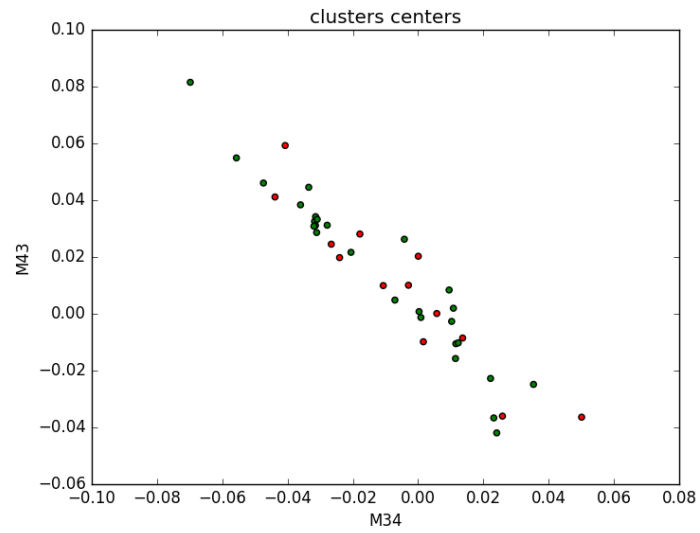


FIGURE 2.2 – centre des clusters après transformation

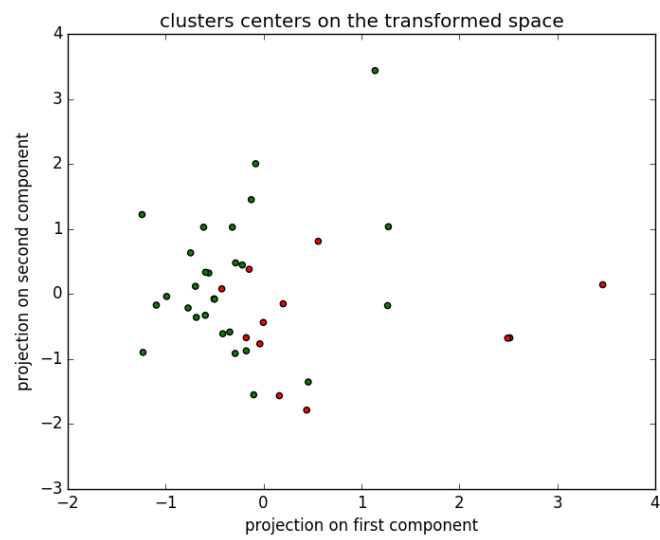


FIGURE 2.3 – Part de variance expliquée

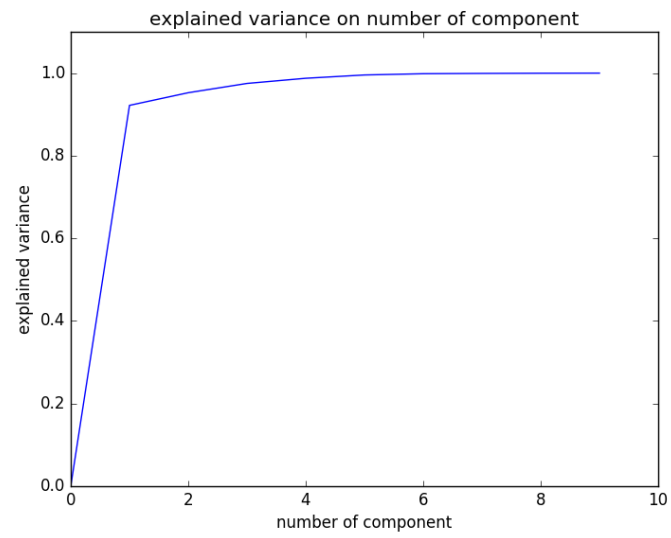
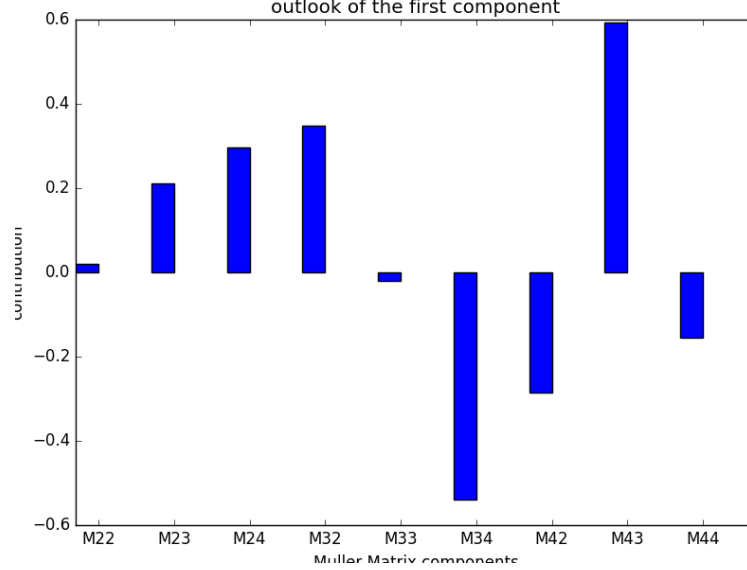


FIGURE 2.4 – analyse de la composante principale  
outlook of the first component



## 2.2.2 Méthode de classification

### Arbre décisionnel et Random Forest

#### rappel de la méthode

**Arbre décisionnel** L'arbre décisionnel est une méthode de classification très classique, qui donne souvent de bon résultats. L'idée est trouver un hyperplan qui sépare au mieux les données (parfois très simple, sur une variable uniquement) et de recommencer cela sur les deux sous-ensembles de données ainsi créés. On isole ainsi les zones où les points sont similaires, et l'on peut ainsi prédire le diagnostique d'un pixel, les hyperplans permettant de construire un arbre de décision.

**Random Forest** La Random Forest ou forêt d'arbre, est juste un ensemble d'arbres de décision. Les données sont divisées aléatoirement, puis l'on associe à chaque sous ensemble un arbre de décision. Le résultat de la prédiction se fait par vote, chaque arbre donne sa prédiction, la prédiction majoritaire l'emporte.

#### prétraitement utilisé

#### résultats (notamment graphique)

#### explication

#### piste d'amélioration

#### K plus proche voisin

**rappel de la méthode** La méthode des k plus proche voisin consiste à essayer de prédire l'état d'un nouveaux point en se basant sur l'état de ses voisins les plus proches. Cette méthode a l'avantage de pouvoir classer les données selon des schémas non linéaires. Par contre, c'est une méthode sensible à la dimension.

**prétraitement utilisé** Nous avons testé la méthodes des KNN sur les centres des clusters pour plusieurs raisons : - A chaque classification, l'algorithme doit recalculer l'ensemble des distances avec tout l'échantillon d'apprentissage. Il y a donc une nécessité de réduire le nombre de donnée en entrée sur lesquels on calcule les distances. - De plus, chaque cluster regroupe un ensemble de point très proches les uns des autres. Ainsi, en prenant tous les éléments, les plus proches voisins d'un certain point auraient souvent tous appartenu au même cluster ce qui rend l'information extraite redondante. Cela aurait revenu à utiliser l'algorithme avec 1 seul voisin.

**résultats** Les résultats présentés ci dessous corresponde au taux de bonne prédiction en prenant une image de test et en cherchant les k plus proches voisins sur les 16 autres. Chaque cluster est représenté par un vecteur comprenant les éléments suivants de la matrice de Müller : ['M23', 'M24', 'M32', 'M34', 'M42', 'M43'].



| échantillon de test | taux de bon résultat |
|---------------------|----------------------|
| 1                   | 100%                 |
| 2                   | 0%                   |
| 3                   | 100%                 |
| 4                   | 100%                 |
| 5                   | 0%                   |
| 6                   | 100%                 |
| 7                   | 33%                  |
| 8                   | 50%                  |
| 9                   | 66%                  |
| 10                  | 100%                 |
| 11                  | 100%                 |
| 12                  | 100%                 |
| 13                  | 100%                 |
| 14                  | 75%                  |
| 15                  | 66%                  |
| 16                  | 75%                  |
| 17                  | 100%                 |
| moyenne             | 69%                  |

En utilisant les 9 éléments de la matrice de Müller Mij avec i et j différents de 1, on obtient un taux moyen de 65

**conclusion** Les résultats donnés par les KNN ne sont pas très bon. Piste d'explication ?

## SVM

Les Machines à Vecteurs Support ou SVN sont des classifieurs qui cherchent à séparer linéairement deux ensemble de points dans un certain espace en maximisant la marge entre ces deux sets de points. Par défaut (avec un noyau linéaire), la séparation est donc nécessairement linéaire. Cependant, en transformant nos données pour les plonger dans un autre espace, souvent de dimension supérieur, on peut générer un modèle de capacité supérieur et fortement non linéaire. C'est ce qu'on appelle le Kernel trick

Les SVM sont efficaces lorsque le nombre de feature est inférieur (voir très inférieur au nombre de données).

### prétraitement utilisé

### résultats (notamment graphique)

**explication et piste d'amélioration** Le problème du Kernel trick est qu'il nécessite d'avoir une idée a priori du type de fonction que l'on cherche à estimer pour pouvoir utiliser un noyau adéquat. Ce n'est ici pas le cas, on ne sait pas a priori qu'elle pourrait être le type de fonction permettant de distinguer linéairement un pixel sain d'un pixel malade.

Pour contrer ce problème, il faudrait "apprendre la fonction noyau". C'est en quelque sorte le rôle des neural networks.. On peut voir les n-1 couches du réseau de neurones comme étant la fonction du noyau et la dernière comme une séparation linéaire sur les données plongées dans ce nouvel espace.

# Table des matières

|          |   |          |
|----------|---|----------|
| <b>1</b> | <b>contexte</b>   | <b>1</b> |
| 1.1      | ADM Polar, contexte du projet . . . . .                       | 1        |
| 1.2      | Présentation des données . . . . .                            | 1        |
| 1.2.1    | la Matrice de Müller . . . . .                                | 1        |
| 1.2.2    | Le Clustering . . . . .                                       | 1        |
| <b>2</b> | <b>Le traitement des données</b>                              | <b>3</b> |
| 2.1      | Prétraitement des données . . . . .                           | 3        |
| 2.2      | Les différentes approches de traitement des données . . . . . | 3        |
| 2.2.1    | Réduction de dimension . . . . .                              | 3        |
| 2.2.2    | Méthode de classification . . . . .                           | 6        |

# Table des figures

|     |  |   |
|-----|--|---|
| 2.1 | centre des clusters avant transformation . . . . . | 4 |
| 2.2 | centre des clusters après transformation . . . . . | 4 |
| 2.3 | Part de variance expliquée . . . . .               | 5 |
| 2.4 | analyse de la composante principale . . . . .      | 5 |

# Liste des tableaux

# Index

arbre, 6  
Arbre de décision, 6  
  
Kernel trick, 7  
  
Matrice de Muller, 1  
  
Neural networks, 7  
  
SVM, 7